

水波工学入門

別冊正解

内容

序論 波動工学のすゝめ

本論文 1. 諸量の定義と実効値表示。 1
不既定

2. 波の放射場 Polar Diagram 3

3. 波の吸収 7

4. 可逆小生 10

5. 伝達動力, 12

(3次)

6. 相互インヒーリンス 14

7. 浮体等小生 15

8. 浮体配列 22

9. 散乱と漂流力 24

10. 波エネルギー吸收装置 28

11. 反射係数 31

12. 浮体の動搖軽減法 33/36

附録 A. 無限遠のリニア・アレイ A-1

B. 2端の浮体の相互干渉 (2次元) A-5

C. 垂直平板 (2次元) A-7

D. 2枚の垂直平板 A-11/21

参考文献: ~~~~ 37

波動工学のすゝめ

自然界に広く存在する波動現象、光、音、電磁波、
水波、弹性波(地震波)等を研究するものとて、
光学、高繊子、電磁気学、流体力学、弹性力学等から
あふが、この手法は大変よく似ており、波動力学と類似してもよく、その支配方程式はすべて波動方程式である。

従つてこの工学的応用についても大変似通つたものがあるし、又さうなければ"ならぬ"のでこれらを比較総合する事によつて得られたものは大きな事が予想される。

この内電磁波については歴史的には最も新しいけれども工学としては最も早く電波工学と称せられて工学的處理の手法を確立しておき、音波についても音響工学なる分野が確立され、あるようだ

見える。

とその技術

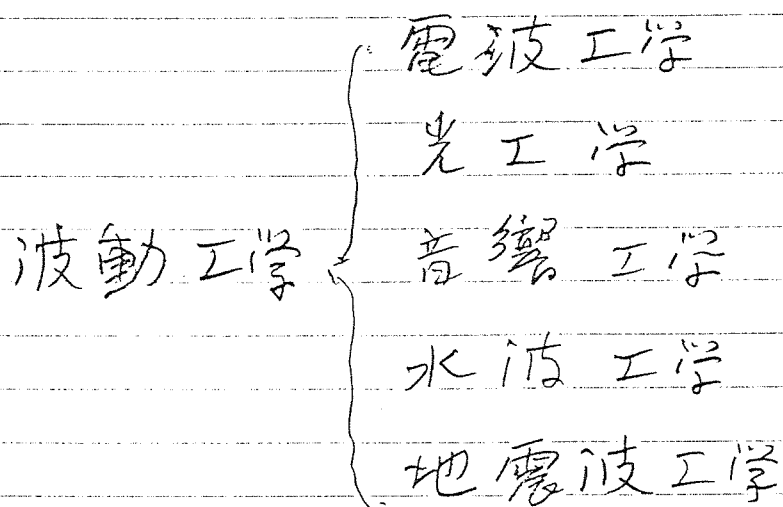
光学はこの内では最も古い歴史を有していてその応用技術は完成の域に達している。

光ファイバー、レーザー光等新しい技術の発展に伴い、光工学と言う分野を考える事が出来よう。

水の波、地震波(この他の土の振動等無限媒体本中に伝播する)を考えてるので弹性波はその種の中、代表としてこれを振り上げる。についてはその工学的応用に繋げてからは「かり」反のでその進歩完成のためには他の工学を手本として直似の「早道」である。

この手本としては工学的手法の完成度から見て電波工学が最も直似である。

そこでこれらを含めて、総合工波動工学を提倡するものである。



抑制する本と、これらのはを遮断する事が問題となる。
防波堤、清掃装置、防震、防振工事等がその例となり
なう。

3. エネルギー利用.

これは最近のトピックスに類する問題で太陽
エネルギー利用、水はエネルギー利用が好んで
あるが同じ原理で地雷エネルギーを吸收出来
はずでありますとそのエネルギーを利用する本
出来ますまでも前述の防雷法の一と見えます。
又同じ太陽エネルギー利用にても広い宇宙
空向に集光器を置くとそれを地球上へ
送る爲の手段、恐らくは電波とすらが大電力
を電波で送電する技術の開発が必要となう。

以上のようにまとめるとその手法、目的にあつて
消音工学として普通のものと有つてゐるので互に
他の手法、技術を交換する事によつて多くのものを
得られ、さらに新しい発展が期待出来よう。

水波工学入門

概要

序論のような主旨で 波力吸收、消波等の問題を題材に扱って、水の波の物理学をアンテナ理論と対比させて 電磁気学の用語を利用して書きなさいて 図どうと云ふ事がである。

この箇では 浮体、船は アンテナに該するか
アンテナでは 可逆定理を使って送信特性と受信
特性が同じにある事から、考えるのみ簡単な送信特性
を検討してみる。³⁾

水の波でも同じで ハスキートの定理⁷⁾を得て、さらに
逆時間運動の可能性⁶⁾を考慮すれば"やはり 送波
特性を調べるのは" 充分である。

電波工学の用語を用ひると 一般に 言述が簡単
である概念より鮮明になると 工学的応用
は容易であり、さらに 重力緩衝減速等の
適用にも門快く解説がえられる。

これらに共通する研究題目は考へて見ると次の
3つに集約出来よう。

1. 送波 光源、電波源、アンテナ、スピーカー
送波器、電源

2. 受波 太陽エネルギー利用、アコティ、マイクロ波
船の動揺、地震波等

3. 放播 放射、散乱、反射、屈折等

これらについて实用工の目的も大別して見ると
次のようになると

1. 情報の伝達

光、音、電波がその代表であるが水波は
その発生域の気象情報を伝え、地震波は
地殻構造の情報を与え、又 地震探査法
(手稿) 地震走査法とよぶものである。

2. 防災、公害予防

船の波浪中の安全性、地震の防災等が代表的
なものであるが最近では騒音公害も大問題で
ある。この意味ではこれらによる動搖、振動を

1. 諸量の対応と実効値表示、

力学系の諸量と電磁気学系の諸量との対応は一義的

ではない。けれども、¹⁾論では力を V で表し、電圧 V 、

動搖速度を I として電流に對応するもとし

$$Z = V/I \quad \dots \quad (1.1)$$

をインピーダンスとして定義する。

またこれらの諸量は内因法数で正弦的に変動する
もとし、交流理論²⁾に準じて複素数表示をしろ。

するとインピーダンスは 実効値をとる。

$$Z = R + iX \quad \dots \quad (1.2)$$

のように書け、 R , X は電磁気学では抵抗、リアクタance で、力学系では R は減衰抵抗で X は

$$X = \omega M - \frac{S}{\omega} \quad \dots \quad (1.3)$$

M : 値量, S : 復原力

である。

なお、回転運動では力のかわりにモーメントを 位置の
かわりに慣性モーメントを採る。

電力には次の動力が付与し、変動量を実効値
(振幅の $\sqrt{2}$ 倍) とてあるので、次のように表わす。

$$W = R/I^2 \quad (1.4)$$

流れ場は電磁場に比て下記簡単である。

速度ベクトル $\psi(x, y, z)$ を決まり、流速 v

$$\vec{v} = -\nabla \psi \quad (1.5)$$

圧力 P は

$$P = i\rho \omega \psi \quad (1.6)$$

これらすべて実数値をとるものとする。

次すると電磁気学における Pointing Vector \vec{p}

$$\vec{p} = p \vec{v}^* \quad (1.7)$$

* \vec{p} は荷素支役値を示す。

となり 面 S の内側の流れの外側の流れに対する

仕事の力率(以下勤力と呼ぶ) W は

$$W = \iint_S p (\vec{v}^* \cdot \vec{n}) dS \quad (1.8)$$

ここで \vec{n} は S の外向き法線をとる。

2. 水の放射場⁴⁾

浮体の運動によつて出来る水の運動は速度 ω テニヤルに
よつて表わせた。

この速度 ω テニヤル ϕ を次のようく規準化しておこう。

$$\phi = I \phi(x, y, z), \dots \quad (2.1)$$

I はこの動量の速度をすから、振幅を X とすると

$$I = i\omega X, \dots \quad (2.2)$$

したが ϕ の物体面 S 上の境界条件は

$$\frac{\partial \phi}{\partial n} = - \frac{\partial}{\partial n} \chi_j, \dots \quad (2.3)$$

χ_j は j -mode の内部調和固有数である。

力は (1.6) で

$$P = i\rho\omega I \phi, \dots \quad (2.4)$$

であるから 力又はモーメントは (物体面 S における力と定義)

$$V_{ij} = i \iint_S P_i \frac{\partial \chi_j}{\partial n} dS = i\rho\omega I_i \iint_S \phi_i \frac{\partial \chi_j}{\partial n} dS$$

$$= I_i Z_{ij}, \dots \quad (2.5)$$

2.12

$$Z_{ij} = i\rho\omega \iint_S \phi_i \frac{\partial \chi_j}{\partial n} dS, \dots \quad (2.6)$$

$$Z_{ij} = Z_{ji}, \dots \quad (2.7)$$

充分遠方では 極座標表示

$$\phi(r, \theta; z) \xrightarrow[Kr \gg 1]{} \sqrt{\frac{K}{2\pi i r}} e^{-Kz - iKr} H(K, \theta), \quad \dots (2.8)$$

$$K = \omega^2/q = 2\pi/\lambda, \quad \text{これは良}$$

$$H(K, \theta) = \iint_S \left(\phi \frac{\partial}{\partial n} - \frac{\partial \phi}{\partial n} \right) e^{-Kz + iK(x \cos \theta + y \sin \theta)} dS, \quad \dots (2.9)$$

この物体の運動によつて放射されるのはの動力 W

(1.8) より

$$W_{ij} = \operatorname{Re} \left[-i\rho \omega I_i I_j^* \iint_R \phi_i \frac{\partial \phi_j^*}{\partial r} r d\theta dz \right], \quad \dots (2.10)$$

ただし R は 充分遠方の垂直円筒面とする。

(2.8) を代入すると 放射動力は

$$W_{ij} = \frac{\rho \omega K}{4\pi} I_i I_j^* \int_0^{2\pi} H_i(K, \theta) H_j^*(K, \theta) d\theta, \quad \dots (2.11)$$

あるいは

$$W_{ij} = I_i I_j^* R_{ij}, \quad \dots (2.12)$$

$$R_{ij} = \frac{\rho \omega K}{4\pi} \int_0^{2\pi} H_i(K, \theta) H_j^*(K, \theta) d\theta, \quad \dots (2.13)$$

と書くと $i=j$ のときは R は放射半抗と定義する。

(2) 対称物体の上下動では 指向性がなく
円筒面となるのが放射半抗は

$$R = \frac{\rho \omega k}{2} |H(k)|^2, \quad \dots \quad (2.14)$$

又物体が大変小さい時は

$$H(k) \doteq A_w, \quad \text{水銀面積}, \quad \dots \quad (2.15)$$

前述の時は $H(k, \theta) = H(k) \cos \theta$ とあります。

$$R = \frac{\rho \omega k}{4} |H(k)|^2, \quad \dots \quad (2.16)$$

物体が小さいと

$$H(k) \doteq ik(1+\kappa)\nabla, \quad \dots \quad (2.17)$$

す：附加密度係数， ∇ は排水量

さて無限遠方の水銀面を通りて放射された動力を
 W_r とするとそれは物体に供給された動力 W に
放射効率 η をかけたものである。

$$W_r = \eta W, \quad \dots \quad (2.18)$$

もし造波様の機械損失などがないければ $\eta = 1$

ある物体から放射された時のエネルギー一密度の
ある方向の η
ある基準物体の基準運動によるものとの比を
利得 χ と呼ぼう。

基準物体として軸対称の上下動をとれば
この指向性は無く、放射した時のエネルギー一密度
(2.8) により原点からの距離 r に反比例する。

今放射効率を 1 とすると 利得は

$$G_t = |H(K, \theta)|^2 / \frac{1}{2\pi} \int_{-\pi}^{\pi} |H(K, \theta)|^2 d\theta , \quad (2.19)$$

こうして表か出来、無指向性ならば "1" となる
ので "指向性利得" ³⁾ と呼ばれる。

又 軸対称物体の前後置れども

$$G_t = 2 \cos^2 \theta , \quad \dots \quad (2.20)$$

実際の利得はこれに 放射効率をかけてものである。

3. 浮体の吸収

浮体が入射平面波の中で搖れながら、波のエネルギーを吸収しているとする。

波の強制力を V 、浮体自身の(内部)インピーダンスを Z_e 、水のインピーダンスを Z 、動搖速度を I とすると

運動方程式は

$$V = (Z_e + Z) I, \quad (3.1)$$

$$Z_e = R_e + i(\omega M - \frac{S}{\omega}), \quad (3.2)$$

$$Z = R + i(\omega M_a - \frac{S_a}{\omega}), \quad (3.3)$$

R_e は直荷抵抗、 M ；浮体質量、 M_a ；附加質量
 R は放射抵抗、 S は復原力、 S_a ；水の慣量的復元力

この浮体が吸収する波動力 W は

$$W = R_e |I|^2 = \frac{R_e |V|^2}{|Z_e + Z|^2}; \quad (3.4)$$

であるから、これは

$$Z_e = Z^*, \quad (3.5)$$

つまり英後整合³⁾の時に最大で

$$W_a = \text{Max.} W = \frac{|V|^2}{4R}, \quad (3.6)$$

となる。

さてこれは実効振幅を a とするとはの強制力は
ハスキニトの関係より (前方からの入射はなし)

$$V = \rho g a H(k, \alpha), \quad \dots \quad (3.7)$$

一方放射抵抗 R は (2.13) より 与えられるから

$$W_a = \frac{\rho^2 g^2 |a|^2 |H(k, \alpha)|^2}{\omega K} \left[\frac{\rho \omega k}{\pi} \int_0^{2\pi} |H(k, \theta)|^2 d\theta \right], \quad (3.8)$$

後向性がなければ (2.14) より

$$W_a = \frac{\rho g^2}{2\omega K} |a|^2, \quad \dots \quad (3.9)$$

(2.16) の前後より

$$W_a = \frac{\rho g^2}{\omega K} |a|^2 \cos^2 \alpha, \quad \dots \quad (3.10)$$

さて平面はの単位幅当たりの入射動力 E は

$$E = \frac{\rho g^2}{2\omega K} |\alpha|^2, \quad \dots \quad (3.11)$$

であるから

$$\frac{W_a}{E} = \frac{|H(k, \alpha)|^2}{\frac{K}{2\pi} \int_0^{2\pi} |H(k, \theta)|^2 d\theta} = B_e \quad \dots \quad (3.12)$$

となりこれは吸収最大動力 B_e の入射はの
動力に等しい事を示すので実効幅 ^{3) 5)} と 1.3...
半分である。

無指向性ならば (3.9) より

$$B_e = \frac{1}{K} = \frac{\lambda}{2\pi}, \quad \dots \quad (3.13)$$

$\cos \alpha$ の指向性ならば

$$B_e = \frac{2 \cos^2 \alpha}{K}, \quad \dots \quad (3.14)$$

又は指向性を得る (2.19) を使えば一般に

$$B_e = \frac{G(\alpha)}{K}, \quad \dots \quad (3.15)$$

ところで車両や物体では B_e は寸長と指向性のみに比例し、物体の寸法に比例しない！

また B_e は計算可能であるから 例えは車両や物体の上下揺れと前後揺れで $\alpha=0$ の場合からの寸長が収出される P_e は

$$B_e = \frac{\lambda}{2\pi} + \frac{\lambda}{\pi} = \frac{3}{2\pi} \lambda, \quad \dots \quad (3.16)$$

となるから、このような物体を大体半ば長周期で並べておけば“全エネルギー”が収出された事になる。

無指向性電動機を基準とすると後段を得 G_F は

(3.8) と (3.9) で割って

$$G_F = |H(K, \alpha)|^2 / \left[\frac{1}{2\pi} \int_0^{2\pi} |H(K, \alpha)|^2 d\alpha \right], \quad (3.17)$$

であるから (2.19) と比較して

$$G_F = G_T, \quad \dots \quad (3.18)$$

4. 可逆性 (3), (4) (6) (7)

アンテナ理論では可逆性を用いて受信と送信の両の可逆性が証明され、従ってその一方のみ考えればよ。

次の行では可逆性はハスキントの定理であり、それにこの幾つかに使用しているが、これではアンテナ理論における可逆定理に従ってもう一度ハスキントの定理を考える。

浮体が幾つかあってそれから^の自由度に従って速度 V_n の力又はモーメントを受けて動搖する際 I_n で動搖するとし、次に V'_n とのモーメントで I'_n の振幅となる場合 ガリニーの定理により

$$\sum_n V_n I'_n = \sum_n V'_n I_n, \quad (4.1)$$

これを本は容易に示せり、これがハスキントの一般の定理である。

最も簡単な場合として浮体 1 が V_1 の力又はモーメントによって I_1 の運動をする時 ^(静止した) 浮体 2 が V_2 の力又はモーメントを受け、浮体 2 が V'_2 の力又はモーメント (2.4.2)

I_2' の運動をする時 静止しているときの V_1' の
力はモーメントを加へるとすると (4.1) は \neq

$$V/I_1 = V_2 I_2' \quad , \quad \dots \quad (4.2)$$

最初の運動の速度ベクトルを ϕ_1 , 後のを ϕ_2
とすると $(2.4) \quad (2.5) \quad (\phi = \omega \phi)$

$$V_2 = -i\rho\omega I_1 \iint_{S_2} \phi_1 \frac{\partial x_i}{\partial n} ds \quad , \quad \quad (4.3)$$

$$V_1' = -i\rho\omega I_2 \iint_{S_1} \phi_2 \frac{\partial x_i}{\partial n} ds ,$$

$$\left. \frac{\partial \phi_1}{\partial n} \right|_{S_1} = - \left. \frac{\partial x_i}{\partial n} \right|_{S_1} , \quad \left. \frac{\partial \phi_1}{\partial n} \right|_{S_2} = 0 ,$$

$$\left. \frac{\partial \phi_2}{\partial n} \right|_{S_1} = 0 , \quad \left. \frac{\partial \phi_2}{\partial n} \right|_{S_2} = - \left. \frac{\partial x_i}{\partial n} \right|_{S_2} ,$$

であるから (4.2) はグリーンの定理により自明である。

普通に述べられる ハスクニトの定理は 特殊な場合

無限遠方にあたる場合で (3.7) は成立する。

5. 伝達動力³⁾, 散乱し幅³⁾

ここではアンテナ理論に出て来る量を整理上げよう。

まち" 充分離れた 2つの導体の一方が動搖して
他方のものは力を吸収する車を考えよう。

距離を d とすると 他方の導体の上での運動範囲は

$$P = \frac{W_t G_t}{2\pi d}, \quad \dots \quad (5.1)$$

但し W_t は一方の導体の発射する動力で G_t はその指向

性利得である。

他方の導体の受波可能な最大動力は (3.12), (3.15)

$$W_a = \frac{G_r}{K} \cdot P = \frac{2G_r G_t}{4\pi^2 d} W_t, \quad \dots \quad (5.2)$$

これはアンテナでは Friis の伝達公式と呼ばれてる。

この式から一般には伝達可能動力は小さいと
考えられるが 导体同士が近い時はこの限りでは
なくて、例えは両導体の間から丁度打消しあう
ならば無限遠方に エネルギーは出て行かないから
一方の放射する能を 1/2 方で全部吸収している
車になる。

6. 相互インピーダンス³⁾

浮体が複数個あるかあるいは單体でも複数モードの運動をする場合は相互干渉を考えねばならない。

浮体の一つのモードの運動を1ヶと勘定してその運動があるとし、それぞれに働く力又はモーメントを V_r , I_r とする。
(これは零に)

s 個目の運動は V_{rs} なる力又はモーメントが働くとすると、

$$V_r = \sum_{s=1}^n V_{rs}, \quad \dots \quad (6.1)$$

$$\rightarrow V_{rs} = Z_{rs} I_s, \quad \dots \quad (6.2)$$

とおくと

$$V_r = \sum_{s=1}^n Z_{rs} I_s, \quad \dots \quad (6.3)$$

$$\text{可逆原理より } Z_{rs} = Z_{sr}, \quad \dots \quad (6.4)$$

Z_{rs} を相互インピーダンス, Z_{ss} を自己インピーダンスといふことにしよう。

複数浮体の場合の大槻の近似法⁴⁾が利用出来る。

7 流体特性

流動力吸収性 G_{\pm} は(3.15)で定義され実効幅で表わされ、指向性利得 G (2.19)がやかれば“よく一般的に用いられる流体力計算法によつて容易に計算出来よう。

又近似的には薄い角、細長体、スリップ法理論等を利用する事も出来よう。

これが、 G も指向性利得をほのまろ方向にに対して出来るだけ全くする事が要点であり

極限として $|H|^2/\delta$ の度数とすれば

$$\int_0^{2\pi} \delta^2 d\theta = 1 \quad G_{\pm} = 2\pi \delta, \quad B_e = \frac{2\pi}{K} \delta = \lambda \delta \quad (7.1)$$

で実効幅は無限大となる。

しかしこの時 効搖振幅も無限に大きくなるのであるから、実用的な効搖振幅となるよう指向性利得を囲はなければならぬ。

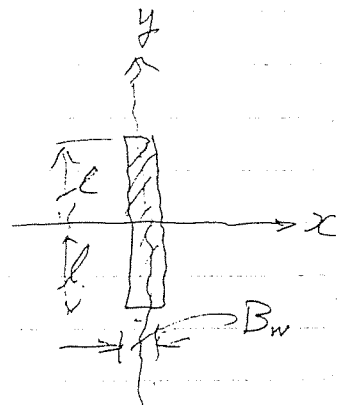
次節では多數の流体を並べて指向性利得

を大きくする方法を考えるが、この中で以下掌体の場合について考察する。

図のようになります。幅 B_w , 長さ $\ell = 2\ell$

では長さに比べて小さい、浮体の上下運動を考えよう。

$$H(K, \theta) = \int_{B_w} e^{iky \sin \theta} dy = B_w \int e^{iky \sin \theta} dy \\ = 2B_w \frac{\sin(Kh \sin \theta)}{K \sin \theta}, \quad -(7.2)$$



$$G(K, \theta) = \left[\frac{\sin(Kh \sin \theta)}{\sin \theta} \right]^2 \div \left[\frac{1}{2\pi} \int_0^{2\pi} \frac{\sin^2(Kh \sin \theta)}{\sin^2 \theta} d\theta \right], \quad (7.3)$$

となつてかなりの改善が見られる。

しかし今まで $\theta = 0$ と π の方向に同じピークを有するのでこれを例えれば $\theta = \pi$ の方向は 0° にならなければならぬ。

アンテナでは別のアンテナ(無線電素子)³⁾を傍にあって導波管(director)³⁾, 反射管(reflector)³⁾として指向性を改善している。(ハーモニアンテナ)

浮体では運動の自由度は掌体²⁾も幾つかあるので、別の浮体を持って来る必要はない。

例えば、最も簡單な場合とて左右動(2つ)で矢張り
整合せせる車によつて、附動力を以てせる車が出来る。

次に運動を非対称とする方法を考へらる。

角ち左回のようじ 非対称の点に力を加えると153。

上下動の速度振幅 I_1 , 2-14に沿う H_1 ,
インピーダンス Z_1

回転動の I_2 , H_2 ,
インピーダンス Z_2

とすると、両者の運動による全速度振幅は

$$I_1 H_1 + I_2 H_2 = V \left(\frac{H_1}{Z_1} + \frac{l}{Z_2} H_2 \right), \quad (7.4)$$

$$\therefore V = Z_1 Z_2, \quad lV = I_2 Z_2, \quad \dots (7.5)$$

これがある方向(2つ)で

$$l = - \frac{Z_2}{Z_1} \frac{H_1}{H_2}, \quad \text{real..} \quad (7.6)$$

のようじ されば、その方向には出で行かない。

H_1, H_2 は物体形状からえられれば、決まり、
 l は実数であれば、必ず前にとれるから、

$$\arg\left(\frac{Z_2}{Z_1}\right) = \arg\left(\frac{H_1}{H_2}\right) \pm \pi, \quad (7.7) \quad \text{小括弧}$$

で“あれは”よ。

左おもての速度を I とまとと

$$\left. \begin{aligned} V &= IZ, \quad I = I_1 + \ell I_2 = \frac{V}{Z_1} + \frac{\ell^2}{Z_2} V \\ \frac{1}{Z} &= \frac{1}{Z_1} + \frac{\ell^2}{Z_2} = \frac{1}{Z_1} + \frac{Z_2 H_1^2}{Z_1^2 H_2^2} \\ \frac{1}{Z} &= \frac{1}{Z_1} \left(1 + \ell \frac{H_1}{H_2} \right) \end{aligned} \right\} \quad (7.8)$$

(7.7) の関係は Z_1, Z_2, H のアクタンスを考慮する事で
より (角準位は Z_1, Z_2 のどちらかだけでよい) 容易に
可能である。

同じ車は「車体を左右非対称にする事によって
も可能である (Salter's duck)」。

つまりある運動によってある方向には出で行か
ないようでは車体形状をあればよい。

そのような形状を求める方法は幾つかある
あるうち二つのように heuristic と考えるのも一法である。

まず「左右対称な物体の例えは」上下動によるとヨツナ
回数計を止め、左右非対称には僅かに変形させ、
そのヨツナ回数の変化分を ΔH とし求めたよ
うで

$$H + \Delta H = 0, \quad \dots \quad (7.9)$$

となるようになるべしよ。

上式では 滑乗分の変化は無視してしまつから この操作を行なふのが繰り返せば 実用上 ある方向に 游の生じうる形状を和めるのは容易であり、Salter's duck のように

(1) 軽動に陥らなくともよい。

以上の方針は 漂体形状がある程度大きくなりはならないようと思われる。

しかし 実効隔は 漂体の方には関係せず 游長と指向性利得に比例するので 漂体方法は出来だけ小さくとる(実用上許される振幅以内で)方が望ましいである。

漂体の方針を遊長にしてみると 小さくすると漂体形状の細かい変化は 指向性には殆ど関係しなくなるだらから 上述方針が推奨される。

この時は 運動の自由度をどれか一つだけにする爲には アンテナ 同様複数の漂体を用意しないければならぬ。

今筒界の数は 2 つの半導体 #2 を考え、また V_1, V_2 を 3
カで速度振幅 I_1, I_2 と置かれているとすると前節の式から

$$\begin{aligned} V_1 &= I_1 Z_{11} + I_2 Z_{12} \\ V_2 &= I_1 Z_{21} + I_2 Z_{22} \end{aligned} \quad \left. \right\} \quad \cdots \quad (7.10)$$

#2 の半導体を アニテナで言う無線電素子つまり

これに働く力は平行してい（ $V_2 = 0$ ）とすれば

（アーテナでは直角インピーダンスを考えるから今はそれを
 $Z_{22} I_2$ 合めて考える）

$$I_2 = - \frac{Z_{21}}{Z_{22}} I_1 \text{ 故 } \cdots$$

$$\therefore V_1 = I_1 \left[Z_{11} - \frac{Z_{12}^2}{Z_{22}} \right], \quad \cdots \quad (7.11)$$

この 4 つは

$$\begin{aligned} I_1 H_1 + I_2 H_2 &= I_1 \left[H_1 - \frac{Z_{21}}{Z_{22}} H_2 \right] \\ &= V_1 \frac{\left[H_1 - \frac{Z_{21}}{Z_{22}} H_2 \right]}{\left[Z_{11} - \frac{Z_{12}^2}{Z_{22}} \right]}, \quad \cdots \quad (7.12) \end{aligned}$$

これが例えれば反射器と共に計算するにはある方向

$$H_1 - \frac{Z_{21}}{Z_{22}} H_2 = 0, \quad \cdots \quad (7.13)$$

であればよい。

こ、12 H_1, H_2 は 芳通の座標軸に沿うる コッキニ引数で
あるが、今 両導体の間隔 d が 適当に 大きくせねば

$$H_2 = H_1 e^{-ikd \cos(\theta - \varphi)} \quad \text{式(14)}$$

2、12 φ は #2 の導体中心の #1 の導体中心から見て
方位角。

と考えられるから (7.13) は、

$$\frac{Z_{21}}{Z_{22}} = e^{-ikd \cos(\theta - \varphi)}, \quad \text{(7.15)}$$

となつて Z_{22} を 調整すればよい。

アンテナ #1 は そのリアクタンス分を 引き取る 事に長さ
を 变えて いるが 导体 #2 は 復元力を 調整する 事
で もよいか どう。

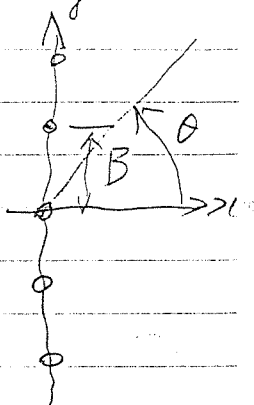
導体 形状 又は 排り量 等を 变えた場合は (7.13)
の 条件に 戻つて 考え直す方が よい どう。

8. 浮体配列³⁾

單体の実効面積は例えは“車両計画”(单体では(3.16))
のように、約半波長であるから広い海面の波力を
吸收するには多数配列(なければならぬ)。

今(2.14)のようなく車両上(2)間隔 ℓ で $(2N+1)$ 枚
($P=7+2$ は Linear Array と呼ばれる)

並べてみるとこの $N+1$ 個数は



$$H(K, \theta) = \int_{\sum S_n} \left(\frac{\partial \phi}{\partial n} - \frac{\partial \psi}{\partial n} \right) \ell \, ds, \quad (8.1)$$

であるから、今

$$h_n(K, \theta) = \ell \int_{S_n} \left(\frac{\partial \phi}{\partial n} - \frac{\partial \psi}{\partial n} \right) \ell \, ds, \quad \left. \begin{aligned} & -Kz + iK(x \cos \theta + y \sin \theta) \\ & -Kz + iK(x \cos \theta + y \sin \theta) \end{aligned} \right\} \quad (8.2)$$

但し $y = \eta + nKB \sin \theta$,

として右辺の積分はすべて等しくすると

$$\begin{aligned} H &= \sum_{n=-N}^{+N} h_n(K, \theta) \ell^{ni(KB \sin \theta + \varepsilon)} \\ &= h_0(K, \theta) \frac{\sin[(2N+1)(\frac{KB}{2} \sin \theta + \varepsilon)]}{(2N+1) \sin[\frac{KB}{2} \sin \theta + \varepsilon]}, \quad (8.3) \end{aligned}$$

となるから、單体のコマチン数にこの因数をかけねばよい。

$$D(\theta, \varepsilon) = \frac{\sin[(2N+1)(\frac{KB}{2} \sin \theta + \varepsilon)]}{(2N+1) \sin[\frac{KB}{2} \sin \theta + \varepsilon]}, \quad (8.4)$$

28

$$D(\theta, 0) = \frac{\sin\left(\frac{n}{2}KB\sin\theta\right)}{n\sin\left(\frac{KB\sin\theta}{2}\right)}, \quad n=2N+1, \quad (8.5)$$

ならば $\theta = 0, \pi/12, \pi^0 - \rightarrow$ を有し, $n \rightarrow \infty$ の場合

(7.1) と同様にアーティザンは Broad side Array と呼んで
いる場合である。

一般化

$$D(\theta, -\frac{KB\sin\alpha}{2}) = \frac{\sin\left[\frac{n}{2}KB(m\theta - n\alpha)\right]}{n\sin\left[\frac{KB(m\theta - n\alpha)}{2}\right]}, \quad (8.6)$$

とすると任意の α が $\pi^0 - \rightarrow$ を有し, これは
所謂 Snake Type の進路特性の場合である。

次に上式で $\alpha = \frac{\pi}{2}$ とすると

$$D(\theta, -\frac{KB}{2}) = \frac{\sin\left[\frac{n}{2}KB(1-\sin\theta)\right]}{n\sin\left[\frac{KB(1-\sin\theta)}{2}\right]}, \quad (8.7)$$

$\theta = \frac{\pi}{2}, \pi^0 - \rightarrow$ を有するので $\theta = -\frac{\pi}{2}$ の場合は射束の

小さい, アーティザンは End fire Array と呼んで

れていて, $\theta = -\frac{\pi}{2}$ の方向には波を出さないが

$\theta = \frac{\pi}{2}$ の方向を中心として幅広く波を出す。

これが入射方向が時間的に変動する

ような場合の波の吸収率についてもう少し
詳しく, Conical Rader はその一例を考えてみよう。

箇数の充分多い フロード サイバーレイでは近似的
無限大と考えると附録Aのように $L \gg B$ の場合
は長さ 小さければ無限遠のまでは 2 次元と
なる。

それ故この時は全く 2 次元的と考えればよ。

今回のように 2 次元の長さを B とすると近似的に $C_{\text{シグマ}}^2$ 倍は浮体
が無限大より場合の L/B 倍と小さく
反対から浮体は $(L/B)^2$ 倍になる。

それ故動搖振幅は B 倍に大きくなる。

それで運動力吸収能は無限に長い場合と
等しくなる。

このようにして浮体寸法を小さくすると動搖振幅は
逆比例して大きくなるので実用上の限度が出て来る
事に在る。

この点から考えると下釣、ローリングを利用する
には限度があり、左右動の方が多い。

9. 散乱と漂流力

(2.9) 定義したコツヤク関数を用いて三角級数は
展開すると。

$$H(K, \theta) = \sum_{n=0}^{\infty} i(a_n(K) \cos n\theta + b_n(K) \sin n\theta), \quad (9.1)$$

となる。

散乱ポテンシャルについても同様である。

$$H_d(K, \theta, \alpha) = H_d(K, \alpha, \theta), \quad (9.2)$$

~~つまり、 α 方向から入る散乱波は θ 方向から出るの~~
 ~~α 方向への散乱波は等しいので式(9.1)の展開の~~
~~出るところと全く同じ形でなければならぬ。~~

$$H_d(K, \theta, \alpha) = \sum_{n=0}^{\infty} [a_n^d(K) \cos n\theta \cos n\alpha + b_n^d(K) \sin n\theta \sin n\alpha], \quad (9.3)$$

つづく

$$\overline{H(K, \alpha + \pi)} - H(K, \alpha) = \frac{iK}{2\pi} \int_0^{2\pi} H_d(K, \alpha, \theta) \overline{H(K, \theta)} d\theta, \quad (9.4)$$

$$\overline{H_d(K, \alpha + \pi, \beta)} - H_d(K, \alpha, \pi + \beta) = \frac{iK}{2\pi} \int_0^{2\pi} H_d(K, \alpha, \theta) \overline{H_d(K, \beta, \theta)} d\theta, \quad (9.5)$$

(9.3) & (9.5) を代入すると a_n^d, b_n^d の形となる。

$$a_n^d = \frac{\varepsilon_n}{K} i^{n+1} (e^{2iP_n} - 1), \quad (9.6)$$

$$b_n^d = \frac{\varepsilon_n}{K} i^{n+1} (e^{2iQ_n} - 1),$$

2. 9. 8 (9.4) を代入すると

$$\begin{aligned} \frac{a_n}{\bar{a}_n} &= e^{2ip_n}, \\ \frac{b_n}{\bar{b}_n} &= e^{2ig_n}. \end{aligned} \quad \text{--- (9.7)}$$

とよって すべての 支持波 テンソル の $\cos \theta, \sin \theta$ 成分の
立場 p_n, g_n は (9.6) で 定義された 部分 分の 仕事に
等しい。

(9.6) を (9.3) に代入すると

$$H_d(K, \theta, \alpha) = \frac{-2}{K} \sum_{n=0}^{\infty} \epsilon_n (-)^n \left[\sin p_n \cos \theta \cos \alpha e^{ip_n} + \sin q_n \sin \theta \cos \alpha e^{iq_n} \right], \quad (9.8)$$

$$\text{又 } a_n = A_n e^{ip_n}, \quad b_n = B_n e^{iq_n}, \quad \dots \quad (9.9)$$

となる (9.1) は

$$H(K, \theta) = \sum i^n [A_n e^{ip_n} \cos \theta + B_n e^{iq_n} \sin \theta], \quad (9.10)$$

と書ける A_n, B_n は 実数 であり, p_n, q_n は (9.8) の 34(2) 等しい。

(2.13) 54)

$$\frac{2}{\rho \omega} R_{ij} = \frac{1}{2\pi} \int_0^{2\pi} H_i \overline{H_j} d\theta = \sum_{n=0}^{\infty} \frac{1}{\epsilon_n} [A_n^i A_n^j + B_n^i B_n^j], \quad (9.11)$$

(9.4) は

$$\frac{1}{2\pi} \int_0^{2\pi} H_d(K, \theta, \alpha) \overline{H(K, \theta)} d\theta = \frac{2}{K} \sum_{n=0}^{\infty} i^n [A_n \sin p_n \cos n\alpha + B_n \sin q_n \sin n\alpha] \quad (9.12)$$

$$\frac{1}{2\pi} \int_0^{2\pi} H_d(K, \alpha, \theta) \overline{H_d(K, \beta, \theta)} d\theta \\ = \frac{4}{K^2} \sum_{n=0}^{\infty} \varepsilon_n [\sin^2 p_n \cos^2 \alpha \cos^2 \beta \\ + \sin^2 q_n \sin^2 \alpha \sin^2 \beta], \quad (9.13)$$

ここで 散乱波の全強度 ω_s 入射波の強度 ω_i の中間の中
にある強度に等しいかを示す量とし、散乱率 ρ_s を定め
ある。

(2.11), (3.11) より

$$B_s = \frac{\omega_s}{E} = \frac{K^2}{2\pi g a^2} \int_0^{2\pi} |A(K, \theta)|^2 d\theta, \quad \dots (9.14)$$

$$A(K, \theta) = \frac{i \cos \theta}{K} H_d(K, \alpha, \theta) + \sum_j I_j H_j(K, \theta), \quad (9.15)$$

である 1 個体が 赤道上に立つとすれば (9.13) より

$$B_{ss} = \frac{k}{2\pi} \int_0^{2\pi} H_d(K, \alpha, \theta) \overline{H_d(K, \alpha, \theta)} d\theta \\ = \frac{4}{K} \sum_{n=0}^{\infty} \varepsilon_n [\sin^2 p_n \cos^2 \alpha + \sin^2 q_n \sin^2 \alpha], \quad (9.16)$$

運動が 互に独立になつて立つとすれば (3.7) より

$$B_{sj} = \frac{K^2}{2\pi g a^2} [I_j |^2 \int_0^{2\pi} |H_j(K, \theta)|^2 d\theta \\ = \frac{P_j K^2 |H_j(K, \alpha)|^2}{|I_j|^2} \int_0^{2\pi} |H_j|^2 d\theta, \quad \dots (9.17)$$

では以外の構造がなく元の同調していれば" (2.13) より, (3.12) と類似

$$B_{Sj} \xrightarrow{Z_j = R_j} \frac{4}{K} \frac{|H_r(K, \alpha)|^2}{\frac{1}{2\pi} \int_0^{2\pi} |H_r(K, \theta)|^2 d\theta} = 4B_e, \quad \dots (9.18)$$

では最大に吸収をすれば" $Z_j = 2R_j = 3t^3$

$$B_{Sj} \xrightarrow{Z_j = 2R_j} B_e, \quad \dots (9.19)$$

中島はアンテナの場合には入射波の散乱を無視出来るので

上式で" 散乱を考慮する近似式" と言つ。

今の場合

$$B_s = B_{ss} + \sum_j (B_{Sjs} + B_{Sj}), \quad \dots (9.20)$$

となる (9.16) の他にもう一式ある。

$$B_{Sjs} = \frac{i\omega K}{2\pi g a} \left[\bar{I}_j \int_0^{2\pi} H_d(K, \alpha, \theta) \overline{H_j(K, \theta)} d\theta - I_j \int_0^{2\pi} \overline{H_d(K, \alpha, \theta)} H_j d\theta \right], \quad (9.21)$$

$$= -\frac{\rho i\omega K}{2\pi} J_m \left[\frac{\overline{H_d(K, \alpha)}}{\sum_j} \int_0^{2\pi} H_d(K, \alpha, \theta) \overline{H_j(K, \theta)} d\theta \right], \quad (9.21)$$

2次元問題における漂流力は

$$D = \frac{\rho g}{2} [|A|^2 + |A_R|^2 - |A_I|^2] , \quad (9.18)$$

ここで A_R は反射波, A_I は透過波とす。

半径中点の入射波が進行方向に及ぼす漂流力は
全反射波と, (3.11) の入射動力と比較すると

$$D_E = \frac{\rho g}{2} |A|^2 = 2E/c , \quad (9.19)$$

$$c : i\text{は速} = g/\omega , \frac{c}{2} : \text{半周長}$$

今進行方向に及ぼす動力を W_{ab} とすと.

$$D = \frac{\rho g c}{2} |A|^2 = E^2 = W_{ab} + \rho g \frac{c}{2} [|A_R|^2 + |A_I|^2] , \quad (9.20)$$

であるから

$$D = \frac{W_{ab}}{c} + \rho g |A_I|^2 , \quad (9.18')$$

$$\frac{D}{D_E} = \frac{W_{ab}}{2E} + \frac{1}{2} \frac{|A_I|^2}{|A|^2} , \quad (9.21)$$

3次元では漂流力は面積で ⁴⁾

$$D_x = \frac{W_{ab}}{c} \cos \alpha + \frac{\rho K^2}{4\pi} \int_0^{2\pi} |A|^2 (\cos \alpha + \cos \theta) d\theta , \quad (9.22)$$

$$D_y = \frac{W_{ab}}{c} \sin \alpha + \frac{\rho K^2}{4\pi} \int_0^{2\pi} |A|^2 (\sin \alpha + \sin \theta) d\theta ,$$

ここで (9.14) の定義を導入すると.

$$A = \sum_j I_j H_j , \quad (9.23)$$

$$D_x = \left(\frac{W_{ab}}{C} + \frac{D_E}{2} B_S \right) \cos \alpha + \frac{\rho K^2}{4\pi} \int_0^{2\pi} |A|^2 \cos \theta d\theta, \quad \} (9.24)$$

$$D_y = \left(\frac{W_{ab}}{C} + \frac{D_E}{2} B_S \right) \sin \alpha + \frac{\rho K^2}{4\pi} \int_0^{2\pi} |A|^2 \sin \theta d\theta,$$

元の式に新しく漂流力実効電場 B_D を導入すると

$$(B_D)_x = \frac{D_x}{D_E} = \frac{1}{2} \left(\frac{W_{ab}}{E} + B_S \right) \cos \alpha + \frac{k^2}{4\pi g} \int_0^{2\pi} \left| \frac{|A|^2}{a} \right| \cos \theta d\theta,$$

$$(B_D)_y = \frac{D_y}{D_E} = \frac{1}{2} \left(\frac{W_{ab}}{E} + B_S \right) \sin \alpha + \frac{k^2}{4\pi g} \int_0^{2\pi} \left| \frac{|A|^2}{a} \right| \sin \theta d\theta, \quad \} (9.25)$$

微孔房は音エネルギーを吸収するなど、

小さくしておけば漂流力はその分だけ増えるので、

小さくしておけば漂流力を小さくすることは反射波を小さく

透過波を大きくするより他の方法はない。

W_{ab}: 実効電場

10. 波エネルギー一吸收装置

波エネルギー一吸收能力は実効幅(3.15)で表す。

物体の寸法は関係なく、式射程の波長と指向性利得は比例する。

それ故、^{必ずしも}垂直的な衝撃点からは出射だけ小さい

物体とすれば、よいかどうすると物体の動搖振幅は大きくなる。

しかし上下動、前後運動では實際上干渉に干渉があるだろう(振幅は両端の物体を除く程度しかこれないだろう)から、^(最少)物体寸法はこの面から決められよう。

この点で前後運動では非線型性を無視すれば、干渉の制限はよく物体寸法を小さくするのに適していると言えられる。

波の実効幅を大きくするには指向性利得を大きくすればよいかどうかは、物体の利得を二つの面がある。

單体の指向性利得は当時の車から1等体曳車を
はの進行方向に直交させる方がよく又前後動の方か上下動の2倍ある。

リニア・アレイは2種類あって、エンド・ファイン・アレイでは2乃至3ヶ導体で構成し、風下側の指向性利得を小さくし、風上側の指向性利得は比較的多くとなる。コックレル・ラフトは好例である。

ポート・サイン・アレイにはの進行方向に直角に長く配置するはの適たり、その向隅には長より小さいければ反射はは2次元的平面はとなつて2次元理論が準用出来る。

この場合風下側の利得は0にななければならぬが、それには單体の形状を工夫し(ソルターダック)風下側には出ないようにするか、後方にもう1列アレイを配置してはを反射させなければならぬ。

はの反射装置は次節にのべるよう簡易化

構成出来ると考えられるので反射アレイを持つ、ブロード
サウンドアレイは幅広く^(エネルギー)はエネルギーを吸収する方法
としてあるとある。

又この配置では前方のアレイの動搖の一自由度
のみから^(エネルギー)はを吸収すればよいので、2自由度の
運動から^(エネルギー)はを吸収する場合には比べて構造を
高層化^(エネルギー)が出来るであろう。

11. 反射装置

無限遠の "ルート" ケイドリ=ア アレイの理論を F には

3 次元の場合は動揺振幅の相違だけで 2 次元
理論が適用出来るので、 I_1, I_2 は 2 次元座標と見
考えよう。

(反射波は全振幅とて)

反射波の振幅を A_R , 遠近波のを A_T とすると

$$A_T + A_R = \frac{H_2^+}{H_2^-} + 2 \frac{w}{g} I_2 H_2^+, \quad \quad (11.1)$$

$$A_R - A_T = \frac{H_1^+}{H_1^-} + 2 \frac{w}{g} I_1 H_1^+,$$

H_1^+, H_2^+ は 左右動, 上下動の二つ切口数

I_1, I_2 は その振幅とする。

又運動方程式の原点は ロール波無しと
すると 絶散波は ローリング振幅は無意味
であるから 考えは必要はない。

運動方程式は

$$\begin{aligned} I_1 \Sigma_1 &= \rho g \cdot H_1^+, \\ I_2 \Sigma_2 &= \rho g \cdot H_2^+, \end{aligned} \quad \quad (11.2)$$

Σ_1, Σ_2 は インピーダンスとする。

$$\Sigma_1 = \rho \omega |H_1^+|^2 + i X_1 = \rho \omega |H_1^+|^2 \frac{e^{i\beta_1}}{\cos \beta_1} \quad (11.3)$$

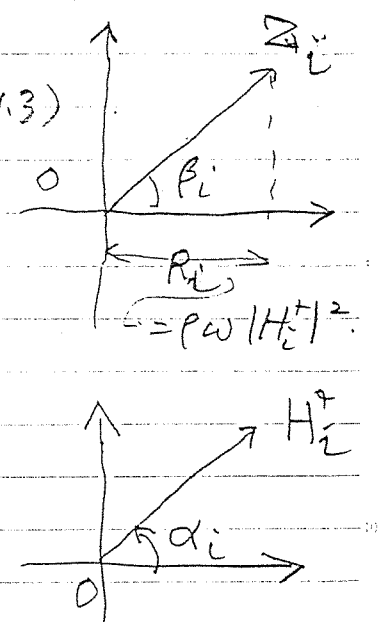
$$\Sigma_2 = \rho \omega |H_2^+|^2 + i X_2 = \rho \omega |H_2^+|^2 \frac{e^{i\beta_2}}{\cos \beta_2}$$

とおこう。

一方 $H_1^+ = |H_1^+| e^{i\alpha_1},$

$$H_2^+ = |H_2^+| e^{i\alpha_2}, \quad (11.4)$$

とおき (11.2) の解を (11.1) 代入すると



$$A_R - A_T = - e^{2i(\alpha_1 - \beta_1)}, \quad (11.5)$$

$$A_R + A_T = - e^{2i(\alpha_2 - \beta_2)}, \quad (11.5)$$

3ch 12 $e^{2i(\alpha_1 - \beta_1)} = - e^{2i(\alpha_2 - \beta_2)}$ for $A_R = 0, \quad (11.6)$
 つまり $\alpha_1 - \beta_1 - (\alpha_2 - \beta_2) = \frac{\pi}{2}$

(11.5) $\alpha_1 - \beta_1 = \alpha_2 - \beta_2 \text{ for } A_T = 0, \quad (11.7)$

(11.6) の反射はか 0 となる場合は 駆動器 (Driver) であり

(11.7) の直通はか 0 となる場合は 反射器 (Reflector) である。

次に リアリティスを引く際するだけで 可能であり、この
 ような素子は アンテナでは 無駆電素子 (Parasitic Element)
 と呼ばれる。 実際の場合は 当てはまると反射器
 は密合箇所で 0 となるが 透過程では 大変大きい
 バネを接着する必要があるようである。

(2) 滑体の動搖軽減法.

滑体の動搖を少くする点については上下動では
片側直角断面とては強制力を小さくする
方法が実用化されてい。

この強制力はモーメントをなくす方法には
もう一つインヒーダンスを補完する方法がある。

即ち今例えば上下動と経緯ゆれの合成運動
を考えるとその運動方程式は

$$\begin{aligned} I_1 \ddot{\gamma}_{11} + I_2 \ddot{\gamma}_{12} &= V_1 \\ I_1 \ddot{\gamma}_{21} + I_2 \ddot{\gamma}_{22} &= V_2 \end{aligned} \quad \left. \right\} \cdots \cdots \quad (12.1)$$

I_1, V_1 ; 経緯ゆれの運動振幅, I_2 は強制モーメント、
 I_2, V_2 ; 上下ゆれ; “”のように書かれるから、例えは“経緯ゆれが0にならざる
を得なければならぬ。

$$I_2 = \frac{V_2}{\ddot{\gamma}_{22}} = \frac{V_1}{\ddot{\gamma}_{12}}, \quad \cdots \cdots \quad (12.2)$$

これは上下動のインヒーダンスと相互インヒーダンス
を補完する事によって可能になりますだう。

またこの観点からすればさらにもう一つの
自由度を負かす事によつて可能になります。
(モフ要素)

仮設は今上下動と綫運動とは連成しないとして綫運動のみ
考え、前後2組のアーチを考慮するものとし、不相互通
のインピーダンスはないとする

$$\left. \begin{aligned} I_1 Z_{11} + I_2 Z_{12} + I_3 Z_{13} &= V_1 \\ I_1 Z_{12} + I_2 Z_{22} &= V_2 \\ I_1 Z_{13} + I_3 Z_{33} &= V_3 \end{aligned} \right\} \quad (12 \cdot 3)$$

これが $I_1 = 0$ となる時は、

$$V_2 \frac{Z_{12}}{Z_{22}} + V_3 \frac{Z_{13}}{Z_{33}} = V_1, \quad \dots \quad (12 \cdot 4)$$

$$\text{簡單の第 } 12 \quad \frac{Z_{12}}{Z_{22}} = \frac{Z_{13}}{Z_{33}}, \quad \dots \quad (12 \cdot 5)$$

とおけば、

$$\frac{Z_{12}}{Z_{22}} = \frac{Z_{13}}{Z_{33}} = \frac{V_1}{V_2 + V_3}, \quad (12 \cdot 4')$$

V_2, V_3 は 緩衝場所 $12 \rightarrow 2$ を度える車が出来たから、 V_1 が
適当に小さくなつていればアーチの重さと主体 12
緩衝するバネ定数と必要なならば正負の減衰抵抗
を加えて (12-4') を実現するには容易であろう。

これらのインピーダンス $\frac{V_1}{V_2 + V_3}$ 法は前述述べたと
分類同様でこれがモードの場合は大きめの揚力を
期待出来るので有望である。

そこで入射波のエネルギーを最大に吸收するためには造波減衰と同じ大きさの貨物抵抗を附加してやれば"上うえの陣の動搖は振幅は半分となるから、ニホネヌーの動搖車輪"改めてある。

それでは
しかしエネルギー吸收の爲の特別の附加装置を必要とするか、浮体が重り留められていない場合や船ではそういう貨物抵抗を与える車輪一般に困難である。

船のローリングでは造波減衰が極めて小さないのでアンテイ・ローリング・タニック等の例があるが、アンテ・ピッチング・タニックでは充分な減衰抵抗を得られないのが成功していな。

このように
一般的に流体抵抗はあまり大きく出来ないので、意味が薄い。

この点、船のアンテイ・ピッヂング・フィン等は前述度による揚力を期待出来るので充分大きいものを接着すれば有望であろう。

この際にもはの強制力を小さくしておく車は必要である。と言うのはハスキットの關係によつてその車が減衰抵抗に比例するので、それが少なければ"スニの車流もあまり大きくなくても効果車ある車にならう"である。

(すなこの時フインの接着場所によつてはの強制力を小さくする車が出来ることを考慮すべきである)

最後に前節でのべたように反射装置の構成は、容易なのが浮遊構造物ではこれを周囲に張り付ければよい。

参考文献

- 1) 重理厚「機械力学」 英文第86 1969年版
- 2) 関村總三「電磁気学工, II, III」 岩波講座基礎工学2
- 3) 安田元人「アンチ・電磁気学」 2000年 1961
(電気通信学会編)
- 4) 制御工制, 防災工学研究報告書 3巻2号
- 5) Newman, J.N.; Applied Ocean Research, vol. 1, No. 4, 1979
- 6) 制御工制, 国際造船会議 159号 1975年12月
- 7) Haslewood, M.D., Otd. Tekh. Nauk, No. 7, 1957
- 8) 大原千一, 西京造船会社報 40号, 昭和45年
- 9) Kotlik, J., J. S. R. vol. 7, oct, 1963

附録 A 無限筒の $\nabla^2 P \cdot PV$ と 2 次元ボテンシャル

3 次元 $\nabla^2 P = \nabla^2 PV$

$$\nabla^2 P = \iint_S (\phi \frac{\partial}{\partial n} - \frac{\partial \phi}{\partial n}) S(P, Q) dS_Q, \quad \dots (A.1)$$

$$4\pi S'(P, Q) = \frac{1}{r_1} - \frac{1}{r_2} + \frac{1}{\pi} \int_{-\pi}^{\pi} \int_0^{\infty} \frac{e^{-k(x+z) + i k(\sqrt{p^2+q^2}(x+y) + p\bar{x} + q\bar{y})}}{p - k + \mu i}, \quad (A.2)$$

$$r_1 = \overline{PQ}, \quad r_2 = \overline{P\bar{Q}}, \quad P \equiv (x, y, z), \quad Q \equiv (x', y', z') \\ \bar{Q} \equiv (x', y', -z')$$

であるとき (A.2) は $p = k \cos u, q = k \sin u$ とおき

$$4\pi S'(P, Q) = \frac{1}{r_1} - \frac{1}{r_2} + \frac{1}{\pi} \iint_{-\infty}^{\infty} \frac{e^{-\sqrt{p^2+q^2}(x+z') + i(p\bar{x}-x' + q\bar{y}-y')}}{\sqrt{p^2+q^2} - k + \mu i}, \quad (A.2')$$

化 置き。

(1) 強度

まず Q 点から y 方向に連続的に並んでいく左辺は

2 次元ボテンシャルと左辺、右辺は直角座標で左辺

ます。ある。

$$I = 4\pi \int_{-\infty}^{\infty} S(x, y, z; x', y', z') dy' \stackrel{(2)}{=} 2\pi S'(x, z; x', z')$$

$$= \lim_{Y \rightarrow \infty} \left[\int_{-\infty}^{\infty} \frac{1}{\sqrt{(x-x')^2 + y'^2 + (z-z')^2}} - \frac{1}{\sqrt{(x-x')^2 + y'^2 + (z+z')^2}} \right] dy'$$

$$+ \frac{1}{\pi} \iint_{-\infty}^{\infty} \frac{e^{-k(z+z') + i(p(x-x') + q(y-y'))}}{p - k + \mu i} \left[\int_{-\infty}^{\infty} e^{iy'} \frac{dy'}{l} \right] \left[\int_{-\infty}^{\infty} e^{iqy'} \frac{dy'}{l} \right]$$

$$\text{Left side: } \int_{-\infty}^Y \frac{dy}{\sqrt{p^2 + y^2}} = -\log(y + \sqrt{p^2 + y^2}) \Big|_{-\infty}^Y = \log\left(\frac{Y + \sqrt{p^2 + Y^2}}{\sqrt{p^2 + Y^2} - Y}\right)$$

$$= -2\log p + 2\log(Y + \sqrt{p^2 + Y^2})$$

$$\lim_{Y \rightarrow \infty} \frac{1}{\pi} \int_{-\infty}^{\infty} f(q) \frac{1}{q} \int_{-Y}^Y e^{-iqy} dy dq = \lim_{Y \rightarrow \infty} \frac{2}{\pi} \int_{-\infty}^{\infty} f(q) \frac{\sin qY}{q} dq$$

$$= f(0); \quad ; \quad i p x$$

$$\therefore 2\pi \int^{(z)} (x, z; x', z') = \log(p_2/p_1) + i \int_0^\infty \frac{e^{-ip(x-x')}}{p-K+\mu} dp,$$

$$p_1 = \sqrt{(x-x')^2 + (z-z')^2}, \quad p_2 = \sqrt{(x-x')^2 + (z+z')^2}, \quad (A.3)$$

$$S^{(2)} \mid \xrightarrow{|x-x'| \gg 1} -i e^{-K(z+z')} = ik|x-x'| \quad \therefore (A.4)$$

Ansatz

$$\phi(p) \xrightarrow{x \gg 1} -i H^+(k) e^{-kz - ikx} \quad \xrightarrow{x \ll -1} -i H^-(k) e^{-kz + ikx} \quad \} \quad (A.5)$$

$$H^+(k) = \int_C \left(\phi \frac{\partial}{\partial n} - \frac{\partial \phi}{\partial n} \right) e^{-kz + ikx} ds, \quad \} \quad (A.6)$$

$$H^-(k) = \int_C \left(\phi \frac{\partial}{\partial n} - \frac{\partial \phi}{\partial n} \right) e^{-kz - ikx} ds, \quad \}$$

水面変位 γ は

$$\gamma(x) = -\frac{i\omega}{g} \varphi(x, 0) = -\frac{i\omega}{g} I \phi(x, 0)$$

$$\xrightarrow{(\text{因} \gg 1)} -\frac{\omega}{g} I H(k) e^{-ik|x|}, \quad (\text{A.7})$$

さて 2 次元のようす特異点が右方(右)に 3 個 B で無限遠

並んでいようと左と。

$$S^B(P, Q) = \sum_{n=-\infty}^{\infty} S(P; x', y' + nB, z'), \quad (\text{A.8})$$

(A.7) の式代入すると

$$4\pi S^B = \sum_{n=-\infty}^{+\infty} \left(\frac{1}{r_1} - \frac{1}{r_2} \right) + 4\pi J, \quad (\text{A.9})$$

$$4\pi J := \frac{1}{\pi} \int_{-\infty}^{\infty} \frac{\ell}{k - K + \mu i} \frac{dp}{p - p(x, y')} \times \lim_{N \rightarrow \infty} \left[1 + 2 \sum_{n=1}^N \cos(nB) \right], \quad (\text{A.10})$$

$$1 + 2 \sum_{n=1}^N \cos(nB) = \frac{\sin((2N+1)\pi B)}{\sin \frac{\pi B}{2}}$$

であるから

$$4\pi J = 2 \int_0^\infty \left[\frac{\ell \cos p(x, y')}{p - K + \mu i} + 2 \sum_{n=1}^{\infty} \frac{-k_n \cos(p(x, y') + \frac{2n\pi}{B}(y - y'))}{p - K + \mu i} \right] dp$$

$$k_n = \sqrt{p^2 + \frac{4h^2\pi^2}{B^2}}, \quad (\text{A.10})$$

となるが、2 の半部分は $KB \geq 2\pi$, つまり $\lambda \geq B/2\pi$

かなり複雑な量である。

つまり $B > \lambda^2$ では右辺第2項から留数分との種類の
方向の、「左から出て来るか」 $B < \lambda$ のとき「右辺第1項の
2次の約法」しか出てこない。

実際上の事を考えて以下 $B < \lambda < 1/4$ 。

すると

$$S^B \rightarrow -ie^{-k(z+z')-ik(x-x')} \quad \dots \quad (A.11)$$

となって 2次元ボテンシャル (A.4) と全く同じ。

$$\phi(p) \xrightarrow[k \gg 1]{} -iH(K, 0)e^{-Kz-iKx} \quad \left. \begin{array}{l} \\ \end{array} \right\} \quad (A.12)$$

$$\xrightarrow[x \ll 1]{} -iH(K, \pi)e^{-Kz+iKx}$$

$$H(K, 0) = \iint_S \left(\frac{\partial \phi}{\partial n} - \frac{\phi}{\partial n} \right) e^{-Kz-iKx} ds, \quad \dots \quad (A.13)$$

ここで S が断面の一様な薄体でその軸を x 軸に
平行とするような場合を考慮し、ストリップ法を適用
すると、この量を C として

$$H(K, 0) = L H^\pm(K), \quad \dots \quad (A.14)$$

$$H^\pm(K) = \int_C \left(\frac{\partial \phi}{\partial n} - \frac{\phi}{\partial n} \right) e^{-Kz \pm iKx} ds, \quad (A.15)$$

C は断面の周線とする。

B. 2箇の導体の相互干渉 (2次元)⁸⁾

2箇の導体から図のように距離 l

だけ離れて並んでいる場合の
相互干渉を大槻の近似に従って
計算して見よう。

夫々が單独の場合はの2つ4列周波数は H_1^\pm, H_2^\pm
散乱の式は右から来る波に対して H_{d1}^\pm, H_{d2}^\pm , 左から来る
波に対して h_{d1}^\pm, h_{d2}^\pm とすると導体から左方右方の
ならびに $H_d^\pm = h_d^\pm$, $H_{dj}^\pm = h_{dj}^\pm$ なる関係があるらしい

$$\text{あらためて } \left. \begin{aligned} A_{Rj}^\pm &= -iH_{dj}^\pm = -ih_{dj}^\pm, \\ A_{Tj}^\pm &= -iH_{dj}^\pm = 1 - ih_{dj}^\pm, \end{aligned} \right\} \quad (B.1)$$

とおこう。

i) 今 C_1 が単位距離で動揺 (C_2 は静止している)
としよう。

$$C_1 \text{ と } C_2 \text{ の間で左方に進む波を今 ポテンシヤルで} \\ -ih \bar{e}^{-ikx} \quad \dots \dots \quad (B.2)$$

とおくと C_2 からの反射波と直進波は

$$(R) \quad -ih \bar{e}^{ikl} A_{R2} e^{ik(x-l)}, \quad 0 < x < l, \quad (B.3)$$

$$(T) \quad -ih \bar{e}^{-ikl} A_{T2} e^{-ik(x-l)}, \quad \text{for } x > l, \quad (B.4)$$

C_1 から右方に進む波は (B.3) の i) の反射も含む

$$-ih = -iH_1^+ - ih e^{-2ikl} A_{R2} A_{R1},$$

より

$$h = \frac{H_1^+}{1 - A_{R1} A_{R2} e^{-2ikl}}, \quad \dots \quad (B.5)$$

C_1 から左方に進む波は

$$-iH_1^- e^{+ikx} - ih e^{-2ikl} A_{R2} A_{R1} R^+ e^{ikx}, \text{ for } x < 0, \quad (B.6)$$

反射 全体の $+^\circ$ フィルタのコットン 波

$$H^+(k) = \frac{H_1^+ A_{R2}}{1 - A_{R1} A_{R2} e^{-2ikl}}, \quad \quad \quad (B.7)$$

$$H^- = H_1^- + \frac{H_1^+}{1 - A_{R1} A_{R2} e^{-2ikl}}, \quad \quad \quad (B.7)$$

C_2 の傾き力は $\beta = \pi/2 - 3\pi/2 = \pi/2$

$$\Sigma_{12} = e^{\omega k l} e^{-ikl} \cdot H_2^- = \frac{\rho \omega H_1^+ H_2^- e^{-ikf}}{1 - A_{R1} A_{R2} e^{-2ikl}}, \quad (B.8)$$

$$\Sigma_{ff} - \Sigma_1 = \frac{\rho \omega A_{R2} (H_1^+)^2}{1 - A_{R1} A_{R2} e^{-2ikl}}, \quad \dots \quad (B.9)$$

ii) C_2 の方向で C_1 が素争っていふと どう。

C_2 から C_1 の方向に進む波を今

$$-ih e^{ik(x-l)}, \quad \dots \quad (B.10)$$

とすると C_1 からの反射波と直面波は

$$-ih e^{-ikl} A_{R1} e^{ikx}, \text{ for } 0 < x < l, \quad (B.11)$$

$$-ih e^{-ikl} A_{T1} e^{ikx} \text{ for } x < 0, \quad (B.12)$$

C₂から左方へ進むのは

$$-i[H_2^- + h A_{R1} A_{R2} e^{-2ikl}] e^{ik(x-l)}, \quad 0 < x < l, \quad (B.13)$$

右方へ進むのは

$$-i[H_2^+ + h A_{R1} A_{T2} e^{-2ikl}] e^{ik(x-l)}, \quad x > l, \quad (B.14)$$

まとめ

$$h = \frac{H_2}{1 - A_{R1} A_{R2} e^{-2ikl}}, \quad (B.15)$$

ここで全体の式をまとめると(42)式

$$H^+ = \left[H_2^+ + \frac{H_2^- A_{T1} e^{-ikl}}{1 - A_{R1} A_{R2} e^{-2ikl}} \right] e^{-ikl}, \quad (B.16)$$

$$H^- = \frac{H_2^- A_{T1} e^{-ikl}}{1 - A_{R1} A_{R2} e^{-2ikl}},$$

$$\Sigma_{2d} = \frac{\rho \omega H_2^- e^{-ikl} \cdot H_1^+}{1 - A_{R1} A_{R2} e^{-2ikl}} = \Sigma_{21}, \quad (B.17)$$

$$\Sigma_{22} - \Sigma_2 = \frac{\rho \omega (H_2^-)^2 A_{R1} e^{-2ikl}}{1 - A_{R1} A_{R2} e^{-2ikl}}, \quad (B.18)$$

iii) 右方から入射波を受けての場合を考えよう。

C_2 から左方へ出て行く波を
 $-ih e^{-ik(x-l)}$

とすると C_1 ではそれを右方透過して

$$-ih e^{-ikl} A_{R1} e^{ikx}, \text{ for } 0 < x < l, \quad \} (B.19)$$

$$-ih e^{-ikl} A_{R1} e^{ikx}, \text{ for } x < 0,$$

C_2 では

$$A_{T2} e^{ik(x-l)} - ih A_{R1} A_{R2} e^{-2ikl + ik(x-l)}, \text{ for } 0 < x < l, \quad \} (B.20)$$

$$A_{R2} e^{-ik(x-l)} - ih A_{R1} A_{R2} e^{-2ikl - ik(x-l)}, \text{ for } x > l$$

$$h = \frac{i A_{T2}}{1 - A_{R1} A_{R2} e^{-2ikl}}, \quad (B.21)$$

全体としてのエントリ波数は

$$H^+ = i A_{R2} \left[1 + \frac{A_{R1} A_{T2} e^{-2ikl}}{1 - A_{R1} A_{R2} e^{-2ikl}} \right] e^{ikl}, \quad \} (B.22)$$

$$H^- = \frac{i A_{T1} A_{T2} e^{-ikl}}{1 - A_{R1} A_{R2} e^{-2ikl}},$$

C. 垂直平板 (2次元)⁹⁾

Ursell, Kotikら等によれば、水面の垂直平板は

水中 y, z 左右動く時の波形幅は

$$\eta(x) \xrightarrow{\text{解}} -iK\gamma_s H_1^\pm(K) e^{\mp iKx}, \quad \dots \quad (C.1)$$

$$H_1^\pm(K) = \pm \frac{i\pi}{K} \frac{I_1(Ka) + L_1(Ka)}{K_1(Ka) - i\pi I_1(Ka)}, \quad (C.2)$$

① 重心動揺を考慮すれば"ならぬ"か roll wave-free

底からあるのでそこで支えておけば"左右動のみ"考慮

ればよい。(Kotikらの表によれば、それより水面下約0.4aのところ)

次の散乱波と反射波の関係より、 x の正方向からの
の單位入射波に対して反射波、透過波は水中は

$$A_{Rd}^+ = \frac{-i\pi I_1(Ka)}{K_1(Ka) - i\pi I_1(Ka)} = \frac{1}{2} \left(1 + \frac{H_1^+}{H_1^-} \right), \quad (C.3)$$

$$A_{Td}^+ = \frac{k_1(Ka)}{K_1(Ka) - i\pi I_1(Ka)} = \frac{1}{2} \left(1 - \frac{H_1^+}{H_1^-} \right), \quad (C.4)$$

(上下動によれば波はおまないの) $H_2/H_1 = 1$ とする

x の負方向からの入射波に対するは

$$A_{Rd}^- = A_{Rd}^+, \quad A_{Td}^- = A_{Td}^+, \quad (C.5)$$

今 ∞ の正方向から 単位振幅の入射波が来て 平板は γ_s の振幅で 左右動いていふとすると 板の前方、後方の 波振幅は

$$A_R = A_{Ra}^+ - iK\gamma_s H_1^+(K) \quad , \quad (C.6)$$

$$A_T = A_{Ta}^+ - iK\gamma_s H_1^- = A_{Ta}^+ + iK\gamma_s H_1^+(K),$$

と左から 1/3 反射干渉、透過波がなくなる γ_s は

$$\gamma_s = \frac{A_{Ra}^+}{iK H_1^+(K)} \quad \text{for } A_R = 0. \quad (C.7)$$

$$\gamma_s = \frac{-A_{Ta}^+}{iK H_1^+(K)} \quad \text{for } A_T = 0, \quad (C.8)$$

で "あり" よ。

一方 平板のインピーダンス Z_1 は

$$Z_1 = \rho \omega^2 |H_1^+(K)|^2 + i[\omega(M+M_a) - \frac{R}{\omega}], \quad (C.9)$$

M は 平板質量、 M_a は付加質量、 R はバネ定数

(表かれてる) は強制力は H_1^+ に比例するから

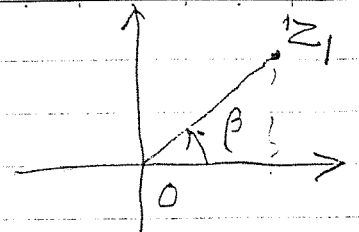
$$i\omega\gamma_s = \frac{\rho g H_1^+(K)}{Z_1}, \quad \dots \quad (C.10)$$

となるが今

$$Z_1 = \rho \omega |H_1^+(K)|^2 \sec \beta^{i\beta}, \quad (C.11)$$

おまけに書いてある。

β は z_1 を右図のよう $1/2$ 不復素表示した時の



立相角である。

H_1 も又複素表示して

$$H_1^+(K) = i e^{i\alpha} |H_1^+(K)|, \quad \dots \quad (C.12)$$

よしと (C.3), (C.4) から

$$\begin{aligned} A_{Rd}^+ &= \frac{1}{2} (1 - e^{2i\alpha}) = -i \sin \alpha e^{i\alpha}, \\ A_{Td}^+ &= \frac{1}{2} (1 + e^{2i\alpha}) = \cos \alpha e^{i\alpha}. \end{aligned} \quad \left. \right\} \quad (C.13)$$

左端の (C.7), (C.8) と (C.10) を等式とすると

$$\frac{\cos \beta e^{-i\beta}}{H_1^+} = -\frac{A_{Rd}^+}{H_1^+} = -\frac{i \sin \alpha e^{i\alpha}}{H_1^+}$$

$$\cos \beta e^{-i\beta} = +i \sin \alpha e^{i\alpha}, \quad \text{for } A_R = 0 \quad (C.14)$$

$$\text{これが} \quad \beta = \alpha - \frac{\pi}{2}, \quad \dots \quad (C.15)$$

左端 (C.8) と (C.10) を等式とすると

$$\cos \beta e^{-i\beta} = \cos \alpha e^{i\alpha} \quad \left/ \begin{array}{l} A_T = 0 \\ \hline \end{array} \right. \quad (C.16)$$

$$\therefore \beta = \alpha, \quad \dots \quad \left/ \begin{array}{l} A_T = 0 \\ \hline \end{array} \right. \quad (C.17)$$

すなはちよく、 z_1 の 1/2 不復素分を β で表すれば

可能である。

方 各カルマニ、減衰係数を C_a, C_d と 1 とする。

$$C_a = \frac{M_a}{\frac{\pi}{2} \rho a^2}, \quad C_d = \frac{\rho I H_1^2}{\frac{\pi}{2} \rho a^2}, \quad \dots \quad (C.18)$$

すると

$$Z_1 = \frac{\pi \omega^2}{2} \rho a^2 [C_d + i(C_a + G_a)], \quad \dots \quad (C.19)$$

$$G_a = (M - \frac{k}{\omega^2}) / (\frac{\pi}{2} \rho a^2),$$

$$\tan \beta = \frac{C_a + G_a}{C_d}, \quad \dots$$

$$\tan \alpha = \frac{\pi I_1(Ka)}{K_1(Ka)}, \quad \dots \quad (C.20)$$

これが 1 の C_d

$$G_a = C_d \tan \beta - C_a, \quad \dots \quad (C.21)$$

として求められる。

次に表に 2 から 1 の値を示してあるが 2 から 1 と
全反射の条件は $\alpha = \lambda/10$ 程度で 強い後原力
を必要としないで 可能である。

一方 全透過の場合は極めて大きな後原力を
必要とし 実際上困難に思える。

A

No.

10'

Date _____

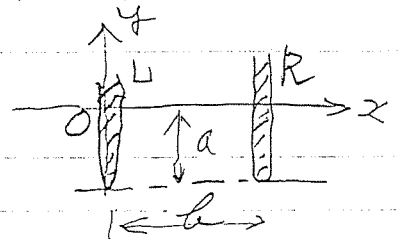
a/k	Ka	α (in $^\circ$)	C_d	C_a	$\tan\left(\frac{Ca}{Cd}\right)$	$\frac{C_d \tan \alpha}{= Ca} = C_b$	$\frac{C_d \cot \alpha}{+ Ca} = -C_e$	$\frac{(\alpha + \frac{\pi}{2})}{Ka} = b/a$	b^*/a
0	0	0	0	1.0000	90. ($^\circ$)	-1.0000	-	-	.4244
.0318	.2	.38	.0822	1.2334	86.19	-1.2329	13.669	15.974	.4133
.0636	.4	16.35	.4312	1.4706	73.66	-1.3441	2.940	9.281	.4022
.0944	.6	37.11	1.0049	1.3361	53.05	-5760	2.665	3.697	.3910
.1114	.7	48.05	1.1923	1.0837	42.27	.2426	2.156	3.442	.3854
.1273	.8	57.64	1.2494	.8063	32.84	1.1653	1.598	3.221	.3798
.1592	1.0	71.27	1.1211	.4012	19.69	2.9058	.7813	2.815	.3863
.3183	2.0	88.40	.4506	.0839	10.55	16.0142	.0965	1.557	.13144
.4775	3.0	89.81	.2445	.1279	27.61	75.4940	.1287	1.046	.2653

(主) b^* ; D-IC. wave free pt.

$$\alpha = \tan^{-1} \left[\frac{\pi I_1(Ka)}{K_1(Ka)} \right]$$

D 2枚の垂直平板 (2次元) 8) 9)

i) 平板 L が 単位速度振幅で左右動く



平板 R は 静止しているとしよう。

これが充分大きくなると 相互影響は互に他の発散波の $\propto k$
によるものとなると 角度 R は L から来る波を散乱させただけで

あとは その反射波 (速度 $\propto -k$) を $-ih$ とすると

L の近くでは R の発散する波は

$$\phi_R(x, 0) \rightarrow (-ih e^{-ikx}) \cdot \bar{\Phi}_d^-(x_0), \quad (\text{D.2})$$

$$(\bar{\Phi}_d^- = \phi_0^- + \phi_d^-) \quad \text{for } x \geq h$$

$$\text{or} \rightarrow -ih A_T e^{-ikx} \quad \text{for } x > h \quad \} \quad (\text{D.2})$$

$$\rightarrow -ih A_R e^{ikx-2ikh}$$

(L から R の方向に進む波は

$$\phi_L(x, 0) \rightarrow -ih e^{-ikx} \quad \text{for } 0 \leq x < h \quad \} \quad (\text{D.1})$$

従って L は 自分自身で R が立った時に発する波と

R から来る波を反射する波をもつから e^{2ikh}

$$\phi_L(x, 0) \rightarrow -iH_1^\pm e^{\mp ikx} - ih A_R \sqrt{\bar{\Phi}_d^+(x_0)}, \quad (\text{D.3})$$

$$\rightarrow -iH_1^+ e^{-ikx} - ih A_R e^{-ikx-2ikh+i\cancel{k}}, \quad \text{for } 0 < x < h$$

$$\rightarrow -iH_1^- e^{ikx} - ih A_R A_T e^{ikx-2ikh+i\cancel{k}} \quad \} \quad (\text{D.3'})$$

$$\text{for } x < 0$$

左側 (D.1) と (D.3') が 1つめ

$$h = \frac{H_1^+}{1 - A_R^2 e^{-2ikx}}, \quad \frac{H_1^+}{1 - A_R^2 e^{-ikx}} \quad (D.4)$$

右側 (D.2') が 2つめ, (D.3') が 2つめ

$$\phi(x, 0) \xrightarrow{x \gg 0} -\frac{i H_1^+ A_R e^{-ikx}}{1 - A_R^2 e^{-2ikx}}, \quad (D.5)$$

$$\xrightarrow{x \ll 0} -i \left[H_1^- + \frac{H_1^+ A_R e^{-2ikx}}{1 - A_R^2 e^{-2ikx}} \right] e^{ikx},$$

$$\text{or} \quad = -i H_1^- \left[\frac{1 + A_R e^{-2ikx}}{1 - A_R^2 e^{-2ikx}} \right] e^{ikx}, \quad (D.6)$$

$$\because A_T = 1 - A_R,$$

左側 $\phi(x, y)$ は 1つめの (直線形) テンシヤル で 等しいから

$$H^\pm = \int_{L+R} (\phi \frac{\partial}{\partial n} - \frac{\partial \phi}{\partial n}) e^{\pm ikx - ky} ds = \begin{cases} H_1^+ B^+ \\ H_1^- B^- \end{cases} \quad (D.7)$$

$$\text{左側 } B^+ = \frac{A_T}{1 - A_R^2 e^{-2ikx}} \quad (D.8)$$

$$B^- = \frac{1 + A_R e^{-2ikx}}{1 - A_R^2 e^{-2ikx}}$$

今 L 対応の時の $i = \epsilon \omega t = \omega s$ を Σ_1^w とし, R がある時

のそれを Σ_{11}^w とすると (肩の w は k の力に沿ったのみを意味する)

$$\begin{aligned} \Sigma_{11}^w - \Sigma_1^w &= -\rho \omega h A_R e^{-2ikx} \int_L^T \bar{\Phi}_d(x, 0) \frac{\partial \chi}{\partial n} ds \\ &= -\frac{\rho \omega (H_1^+)^2 A_R e^{-2ikx}}{1 - A_R^2 e^{-2ikx}}, \quad (D.9) \end{aligned}$$

$$\rightarrow A_R^2 (A_T - A_R) e^{-ikx} =$$

$$1 - A_R^2 e^{-ikx} - A_P (1 - A_R) e^{-ikx}$$

$$Z_1^W = \rho\omega |H_1^+|^2 + iX_1, \quad \dots \quad (D.10)$$

であるが、 $Z_1^W = iX_1 + \rho\omega |H_1^+|^2 \left[1 + \frac{(H_1^+/H_1^-) A_R e^{-2ikx}}{1 - A_R^2 e^{-2ikx}} \right]$

Rのうえに力がかかる(D.12)が、

$$Z_{12}^W = +\rho\omega h e^{-ikx} H_1^- = \frac{\rho\omega (H_1^+)^2 e^{-ikx}}{1 - A_R^2 e^{-2ikx}}, \quad (D.12)$$

ii) Rから左を動いてLの方へ進むときは

RからLの方へ進むときは

$$-ih e^{+ik(x-a)}$$

とおくとLの近くの式⁰は

$$\phi_L(x, y) \rightarrow -ih \bar{\Phi}_d^+(x, y) e^{-ikx}, \quad (D.13)$$

では

$$\phi_L(x, 0) \xrightarrow{x \ll 0} -ih e^{-ikx} A_R e^{ikx}$$

反射波は

$$\xrightarrow{x > 0} -ih e^{-ikx} A_R e^{-ikx}, \quad (D.13')$$

ではこの最後の式を反対もなければ"たらないうRの近くで"

$$\phi_R(x, y) = \phi_L(x, y) - ih e^{-2ikx} A_R \bar{\Phi}_d^-(x, y), \quad (D.14)$$

ϕ_L は單方向の式の式⁰ニシヤル。

では

$$\phi_R(x, 0) \xrightarrow{x > a} -iH_1^+ e^{-ik(x-a)} - ih A_R A_d^+,$$

$$\xrightarrow{0 < x < a} -iH_1^- e^{ik(x-a)} - ih A_R^2 e^{-2ikx + ik(x-a)}, \quad (D.15)$$

$$\text{証明} \quad h = \frac{H_1^-}{1 - A_R^2 e^{-2ik\ell}} , \quad \dots \quad (\text{D.16})$$

ここであらためて全5FのT⁰T⁻¹=R¹を用とおくと

$$\begin{aligned} \phi(x, 0) &\xrightarrow{x \gg \ell} -i H_1^+ e^{-ik(x-\ell)} \left(\frac{1 + \frac{A_R A_T e^{-2ik\ell}}{1 - A_R^2 e^{-2ik\ell}}}{1 - A_R^2 e^{-2ik\ell}} \right) \\ &\xrightarrow{x \ll 0} -i \frac{H_1^- A_T e^{-ik\ell + ikx}}{1 - A_R^2 e^{-2ik\ell}} , \end{aligned}$$

(D.8) を使うと

$$\begin{aligned} \phi(x, 0) &\xrightarrow{x \gg \ell} -i H_1^+ B^- e^{-ik(x-\ell)} , \quad \} (\text{D.17}) \\ &\xrightarrow{x \ll 0} -i H_1^- B^+ e^{ik(x-\ell)} \end{aligned}$$

となる

$$H^\pm = \begin{cases} H_1^+ B^- e^{-ik\ell} \\ H_1^- B^+ e^{-ik\ell} \end{cases} \quad \} \quad \dots \quad (\text{D.18})$$

前回の

$$\begin{aligned} \Sigma_{22}^W - \Sigma_2^W &= + \rho \omega h \ell e^{-2ik\ell} A_R H_1^- \\ &= + \rho \omega \frac{(H_1^-)^2 e^{-2ik\ell}}{1 - A_R^2 e^{-2ik\ell}} \\ &= \Sigma_{11}^W - \Sigma_1^W , \quad \dots \quad (\text{D.19}) \end{aligned}$$

$$\Sigma_{21}^W = + \rho \omega h \ell e^{-ik\ell} H_1^+ = - \rho \omega \frac{(H_1^+)^2 e^{-ik\ell}}{1 - A_R^2 e^{-2ik\ell}} = \Sigma_{12}^W , \quad (\text{D.20})$$

iii) $L \neq R$ の場合で x の正方向から單位入射波を送りてみるとしよう。

L と R の中間に左方へ進む波を次のようになるとしよう。

$$-ih e^{iK(x-h)}$$

L の近くでは

$$\phi_L(x, y) \approx -ih e^{-ikh} \bar{\Phi}_d(x, y), \quad (D.21)$$

$$\begin{aligned} \text{近似} & \quad \phi_L(x_0) \xrightarrow{x \ll h} -ih e^{-ikh + iKx} A_T \\ \text{反射波} & \xrightarrow{x \gg h} -ih e^{-ixh - iKx} A_R, \end{aligned} \quad (D.22)$$

次に R の近傍では

$$\phi_R(x, y) \approx l \bar{\Phi}_d(x, y) - ih e^{-2ikh} A_R \bar{\Phi}_d(x, y), \quad (D.23)$$

$$\begin{aligned} \phi_R(x, 0) & \xrightarrow{x \ll h} iA_T e^{+ikh} - ih e^{-2ikh + iK(x-h)} A_R \\ \text{反射波} & \xrightarrow{x \gg h} A_R e^{-iK(x-h)} - ih e^{-2ikh} A_R A_T e^{-iK(x-h)}, \end{aligned} \quad (D.24)$$

$$h = \frac{iA_T e^{ikh}}{1 - A_R^2 e^{-2ikh}}, \quad (D.25)$$

反射波全体と合わせ

$$\begin{aligned} \phi(x, 0) & \xrightarrow{x \gg h} A_R (1 - ih e^{-A_T}) e^{-2ikh} - iK(x-h) \\ A_R & \xleftarrow{1 = A_R e^{-2ikh}} = A_R \left(1 + \frac{A_T^2 e^{2ikh}}{1 - A_R^2 e^{-2ikh}} \right) e^{-iK(x-2h)} \\ & \xrightarrow{x \ll h} \frac{A_T^2}{1 - A_R^2 e^{-2ikh}} e^{iKx} \frac{1 - A_T}{1 + (A_T - A_R)^2}, \end{aligned} \quad (D.26)$$

IV) H, R の振幅を I_1, I_2 とし いへん $-t$ とすると

Z_{11}, Z_{22}, Z_{12} を (5) 。

今 I_1, I_2 に力 F を加えて動揺させ、これがもとで R が生じる
ものとし (5) 。

$$\begin{aligned} I_1 Z_{11} + I_2 Z_{12} &= F \\ I_1 Z_{12} + I_2 Z_{22} &= 0 \end{aligned} \quad \left. \right\} \quad (D.27)$$

左遠方へ出で行くのは (D.7), (D.18) のよう

$$I_1 H_1^- B^- + I_2 H_1^- B^+ e^{-ikl}, \quad \left. \right\} \quad (D.28)$$

右遠方へは $I_1 H_1^+ B^+ + I_2 H_1^+ B^- e^{ikl}, \quad \left. \right\}$

そこで 左方に向かって出でるとすると。

$$\begin{aligned} I_1 B^- + I_2 B^+ e^{-ikl} &= 0 \\ \text{or } I_1 (1 - A_R e^{-2ikl}) + I_2 A_T e^{-ikl} &= 0. \end{aligned} \quad \left. \right\} \quad (D.29)$$

(D.27) の 2 式の条件を入れると。

$$Z_{22} B^- = Z_{12} B^+ e^{-ikl}, \quad \left. \right\} \quad (D.30)$$

右方へ出でるか出でないため $I_2 = 0$

$$Z_{22} B^+ = Z_{12} B^- e^{ikl}, \quad \left. \right\} \quad (D.31)$$

簡単の為に T と R は残り成形の連続させていた」とし

(D-31) を考えて見よう。

(D-19), (D-20) 12 もう

$$\Sigma_2 = -\frac{p\omega(H_1)^2}{1-A_R^2 e^{-2ik\ell}} \left[A_R e^{-2ik\ell} + \frac{B^-}{B^+} \right] = \frac{-p\omega(H_1)^2}{A_T}, \quad (D-32)$$

前節の記号を導入すると

$$\Sigma_2 = 4p\omega \sec \ell^{i\alpha} |H_1|^2, \quad \dots \quad (D-32')$$

これが Σ_2 を (C-11) のようにおいた式が (C-17) が成立して

(この車に左) R が $i = \pi/2$ デニスは左を全反射するよう

前節した車に左つてある。

次に (D-30) では \bar{H}_1 が

$$\Sigma_2 = -\frac{p\omega(H_1)^2}{1-A_R^2 e^{-2ik\ell}} \left[A_R e^{-2ik\ell} + \frac{B^+}{B^-} e^{-2ik\ell} \right] = \frac{-p\omega(H_1)^2}{1-A_R e^{-2ik\ell}}, \quad \dots \quad (D-33)$$

となって今度は $k\ell$ の値に左つて大きくなれる。

ここで実用的近似と左

$$k\ell = \alpha + \frac{\pi}{2}, \quad b/a = (\alpha + \frac{\pi}{2})/k, \quad \dots \quad (D-34)$$

左以下考えて見よう。

$$\therefore 1 - A_R^2 e^{-2ik\ell} = \cos^2 \alpha, \quad 1 - A_R e^{-2ik\ell} = 1 - i \alpha k \ell = \cos \ell^{i\alpha} \quad (D-35)$$

$$\therefore \Sigma_2 = -p\omega |H_1|^2 \sec \ell^{i\alpha}, \quad \dots \quad (D-35')$$

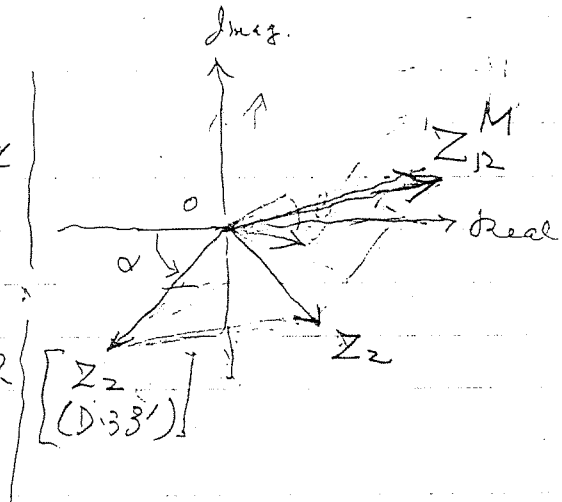
となって Z_2 を (C.11) のように書いて考えると 2 のようを $\frac{Z_2}{Z_{12}}$ 考慮する
事は 一般的不可能である。

これを 線形インピーダンス面で考えると

右図のようになつて $Z_{12} \parallel Z_2$

大きさを “機械的” インピーダンス

を補正すれば ならぬ。



しかし 図からわかるように Z_{12} は常に Z_2 と直角には
減衰分以上 (2倍以下) の抵抗を含まねばならぬ。

しかし そうすると Z_2 の抵抗も同様にあれば 3. でなければ
ならぬから これは不可能である。

そこで 以下 右方に示すが “電気” 条件 (D.31) のみを考え方。

(D.32) のように Z_2 が書かれる時は

$$Z_{22} = -\frac{\rho \omega (H_1)^2 (B^-/B^+)}{1 - A_R^2 e^{-2ikL}} = \frac{\rho \omega |H_1|^2}{\cos^2 \alpha}, \quad \dots (D.32'')$$

$$\therefore B^-/B^+ = (1 - A_R e^{-2ikL})/A_T = e^{-2i\alpha}, \quad B^- = \frac{e^{-i\alpha}}{\cos \alpha}, \quad B^+ = \frac{e^{i\alpha}}{\cos \alpha},$$

今 右方から 単位入射波が 来るとすると 運動方程式

は

$$\left. \begin{aligned} I_1 \Sigma_{11} + I_2 \Sigma_{12} &= p g a H_1^+ B^+, \\ I_1 \Sigma_{12} + I_2 \Sigma_{22} &= p g a H_1^+ B^- e^{ik\ell}, \end{aligned} \right\} (D.35)$$

左辺

$$\left. \begin{aligned} I_1 &= \frac{p g a H_1^+}{\Delta} [B^+ \Sigma_{22} - B^- \Sigma_{12} e^{ik\ell}], \\ I_2 &= \frac{p g a H_1^+}{\Delta} [B^- e^{ik\ell} \Sigma_{11} - B^+ \Sigma_{12}], \\ \Delta &= \Sigma_{11} \Sigma_{22} - \Sigma_{12}^2, \end{aligned} \right\} (D.36)$$

(D.31) の条件から直ちに

$$\left. \begin{aligned} I_1 &= 0, \\ I_2 &= \frac{p g a H_1^+ B^- e^{ik\ell}}{\Sigma_{22}} \xrightarrow{k\ell = \alpha} \frac{p g a i H_1^+}{\cos \alpha |H_1|^2}, \end{aligned} \right\} (D.37)$$

となって I_1 は動かない。

この事は (D.32) でのべたように (D.31) の条件は R か S を全反射して 13 所から 14 所である。

今度は 左方の板のイレピ-タシスか (D.31) によって (D.32) のように補助壁を立てようとしよう。

つまり

$$\left. \begin{aligned} \Sigma_{11} &= \frac{p g_0 |H_1|^2}{\cos^2 \alpha}, \\ \Sigma_{12} B^- &= \Sigma_{11} B^+ e^{-ik\ell} \end{aligned} \right\} . (D.38)$$

$$\Sigma_{12} \Rightarrow i \Sigma_{11} e^{i\alpha}$$

左辺への取扱いを留意 (4.4-22)

$$(R) \quad \frac{i\omega a}{K} A_R \left(1 + \frac{A_T^2 e^{-2ikx}}{1 - A_R^2 e^{-2ikx}} \right) e^{-ikx} - i H_1^+ [I_1 B^+ + I_2 B^- e^{ikx}] \quad (D.40)$$

$$(T) \quad \frac{i\omega a}{K} \frac{A_T^2 e^{-ikx}}{1 - A_R^2 e^{-2ikx}} - i H_1^- [I_1 B^- + I_2 B^+ e^{-ikx}]$$

$$\therefore I_1 B^+ + I_2 B^- e^{ikx} = \frac{\rho g a H_1^+}{\Delta} \left[(B^+)^2 Z_{22} + (B^-)^2 e^{2ikx} Z_{11} - 2 B^+ B^- e^{ikx} Z_{12} \right]$$

$$= \frac{\rho g a H_1^+ (B^+)^2}{\Delta} \left[Z_{22} + Z_{11} \left[\left(\frac{B^-}{B^+} \right)^2 e^{-2ikx} - 2 \right] \right] \quad (D.41)$$

$$I_1 B^- + I_2 B^+ e^{-ikx} = \frac{\rho g a H_1^+}{\Delta} \left[B^+ B^- (Z_{22} + Z_{11}) - Z_{12} \left((B^+)^2 e^{ikx} + (B^-)^2 e^{-ikx} \right) \right]$$

$$= \frac{\rho g a H_1^+ B^+ B^-}{\Delta} \left[Z_{22} - Z_{11} \left(\frac{B^+}{B^-} \right)^2 e^{-2ikx} \right] \quad (D.42)$$

$$\Delta = Z_{11} Z_{22} - \left(\frac{B^+}{B^-} \right)^2 e^{-2ikx} Z_{11}^2$$

$$= Z_{11} \left[Z_{22} - Z_{11} \left(\frac{B^+}{B^-} \right)^2 e^{-2ikx} \right] \quad (D.43)$$

$$\therefore I_1 B^- + I_2 B^+ e^{-ikx} = \frac{\rho g a H_1^+ B^+ B^-}{Z_{11}} \quad (D.44)$$

(透かしの消え算)

$$\frac{A_T^2}{1 - A_R^2 e^{-2ikx}} = \frac{\rho g a H_1^+ H_1^- B^+ B^-}{Z_{11}} \quad (D.44)$$

$$\overbrace{KE = d+0}$$

$$e^{2i\alpha} = e^{z_i \alpha}$$

$$(D.44')$$

となって確かに透過程は消えていい。

$$K_R = \alpha + \frac{R}{2} e^{i\pi/4}$$

$$AR \left(1 - \frac{A_R^2 e^{-2ikR}}{1 - A_R^2 e^{-2ikR}} \right) = 0, \quad (D.45)$$

角反射係数は 0 となる 3 の 2 回射の 0 と矛盾

$$(D.44) \text{ から}$$

$$\begin{aligned} Z_{22} &= Z_{11} \left(2 - \left(\frac{B^-}{B^+} \right) e^{-2ikR} \right) \\ &= \rho \omega |H_1^+|^2 \sec^2 \alpha (2 + 1) \end{aligned}, \quad (D.46)$$

$$2 \text{ 回射}$$

$$Z_2 = Z_{22} + \frac{\rho \omega |H_1^+|^2}{\cos^2 \alpha} (4 i \sin \alpha) e^{i\alpha}$$

$$= \frac{\rho \omega |H_1^+|^2}{\cos^2 \alpha} (2 + \cos^2 \alpha + i \sin \alpha \cos \alpha), \quad (D.47)$$

$$2 \text{ 回射} + 1 \text{ 回射}$$

$$J = Z_{11} (3 + 1) = 4 Z_{11}$$

$$2 \text{ 回射}$$

$$I_1 = \frac{\rho g a H_1^+ B^+}{\Delta} (Z_{22} - Z_{11}) = \frac{i \rho g a |H_1^+| \sec^2 \alpha}{2 Z_{11}}, \quad \left. \right\} (D.48)$$

$$I_2 = \frac{\rho g a H_1^+ B^- e^{i k R}}{\Delta} Z_{11} \left\{ 1 - \left(\frac{B^-}{B^+} \right) e^{-2ikR} \right\}$$

$$= \frac{i \rho g a |H_1^+| \sec \alpha}{2 Z_{11} (\cos^2 \alpha)} = \frac{i \rho g a \cos \alpha}{2 \omega |H_1^+|}, \quad \left. \right\}$$

$$(D.47) に従うと Z_2 - R の單体の進路抵抗は $\rho \omega |H_1^+|^2$ であるから$$

$$Z_2 = 2 \sec^2 \alpha [\rho \omega |H_1^+|^2] \quad \left. \right\} (D.49)$$

とおくと

$$Z_2 = Z_1 + Z_e, \quad \left. \right\} (D.50)$$

とよって R の 120°-ランプは L と同じもの 12 折れ線を
加え、その 12 を 2 で割り 3 本